

Tokyo Institute of Technology

## 受動性に基づく3次元姿勢協調問題



FL07-12-2  
石野 知宏

Tokyo Institute of Technology

Fuji Laboratory

Tokyo Institute of Technology

## アウトライン

- はじめに
- 問題設定
- 収束性の解析
- シミュレーション
- まとめ

Tokyo Institute of Technology

Fuji Laboratory 2

Tokyo Institute of Technology

## アウトライン

- はじめに
- 問題設定
- 収束性の解析
- シミュレーション
- まとめ

Tokyo Institute of Technology

Fuji Laboratory 3

Tokyo Institute of Technology

## はじめに

- **協調制御**: 複数台のエージェントの群れに望みの協調行動をさせること
- **応用例**: センサネットワーク, ロボットネットワーク, 衛星や航空機のフォーメーション制御



Fig 1. 鳥の協調制御

Tokyo Institute of Technology

Fuji Laboratory 4

Tokyo Institute of Technology

## アウトライン

- はじめに
- **問題設定**
- 収束性の解析
- シミュレーション
- まとめ

Tokyo Institute of Technology

Fuji Laboratory 5

Tokyo Institute of Technology

## 3次元システムのモデリング(各エージェント)

3次元空間上に剛体と仮定できる  $n$  台のエージェントが存在する状況を考える

各エージェントの運動学モデル

$$\begin{cases} \dot{p}_i = e^{\hat{\zeta}_i} v_i \\ \dot{\zeta}_i = e^{\hat{\zeta}_i} \omega_i \\ \dot{\xi}_i = \theta_i \xi_i \end{cases} \quad i \in \{1, \dots, n\} \quad (1)$$

$p_i \in \mathbf{R}^3$	位置
$e^{\hat{\zeta}_i} \in SO(3)$	姿勢
$v_i \in \mathbf{R}^3$	ボディ速度
$\omega_i \in \mathbf{R}^3$	ボディ角速度
$\xi_i \in \mathbf{R}^3$	回転軸
$\theta_i \in \mathbf{R}$	回転角度

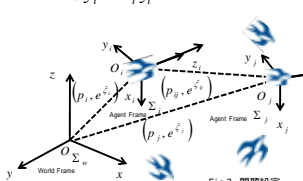


Fig 2. 問題設定

Tokyo Institute of Technology

Fuji Laboratory 6

### 3次元システムのモデリング(エージェント間)

Tokyo Institute of Technology

近傍  $N_i := \{j | j \in V, (j, i) \in E\}$   
 $V$  : グラフの頂点集合 (エージェントを頂点とみなす)  
 $E$  : グラフの辺集合 (エージェント間の通信を辺とみなす)  
 各エージェントは近傍のエージェントのみと通信する

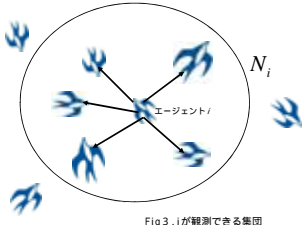


Fig 3. iが観測できる集団

Tokyo Institute of Technology Fujita Laboratory 7

### 仮定

Tokyo Institute of Technology

(A) 回転行列  $e^{\hat{\xi}_i}, \forall i \in \{1, \dots, n\}$  は正定  
 (B)  $v_i = v_j, \forall i, j \in \{1, \dots, n\}$ , かつ  $|v_i| = 1, \forall i \in \{1, \dots, n\}$   
 (C) グラフは固定, 平衡, 強連結である  
 固定: グラフの形は不変  
 平衡: 各頂点の入次数と出次数が等しい  
 強連結: 任意の2頂点に対し経路が存在

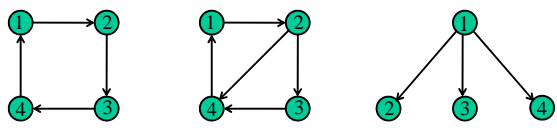


Fig 4. 平衡かつ強連結グラフ      Fig 5. 平衡でないグラフ      Fig 6. 強連結でないグラフ

第6回FLゼミ: グラフは固定, 無向, 連結

Tokyo Institute of Technology Fujita Laboratory 8

### 姿勢協調

Tokyo Institute of Technology

定義  
 全てのエージェントの姿勢が一定値に収束, つまり  
 $\lim_{t \rightarrow \infty} (e^{\hat{\xi}_i(t)} - e^{\hat{\xi}_j(t)}) = 0, \forall i, j \in \{1, \dots, n\}$   
 が成立するとき, 姿勢協調が達成されたという  
 仮定(2)より, 全てのエージェントの姿勢が等しくなると,  
 絶対座標系から見た速度も等しくなる

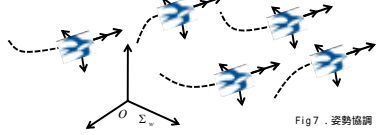


Fig 7. 姿勢協調

Tokyo Institute of Technology Fujita Laboratory 9

### アウトライン

Tokyo Institute of Technology

- はじめに
- 問題設定
- 収束性の解析
- シミュレーション
- まとめ

Tokyo Institute of Technology Fujita Laboratory 10

### 角速度入力

Tokyo Institute of Technology

入力を  $\omega_i = \sum_{j \in N_i} \text{sk}(e^{-\hat{\xi}_i} e^{\hat{\xi}_j})^y, i \in \{1, \dots, n\}$  (2) とする  
 近傍のエージェントとの相対姿勢誤差ベクトルを角速度入力としている

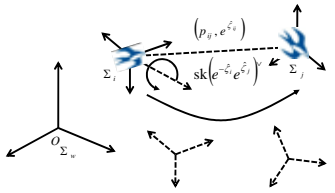


Fig 8. 相対姿勢誤差ベクトル

$$\text{sk}(A) := \frac{1}{2}(A - A^T)$$

$$\wedge(\text{wedge}), \vee(\text{vec})$$

$$\hat{\xi} = \begin{bmatrix} \xi_x \\ \xi_y \\ \xi_z \end{bmatrix} = \begin{bmatrix} 0 & -\xi_z & \xi_y \\ \xi_z & 0 & -\xi_x \\ -\xi_y & \xi_x & 0 \end{bmatrix}$$

$$\begin{bmatrix} 0 & -\xi_x & \xi_y \\ \xi_x & 0 & -\xi_z \\ -\xi_y & \xi_z & 0 \end{bmatrix} = \begin{bmatrix} \xi_x \\ \xi_y \\ \xi_z \end{bmatrix}$$

Tokyo Institute of Technology Fujita Laboratory 11

### 例

Tokyo Institute of Technology

回転行列をz軸周りに固定したとする

$$e^{\hat{\theta}} = \begin{bmatrix} \cos \theta & -\sin \theta & 0 \\ \sin \theta & \cos \theta & 0 \\ 0 & 0 & 1 \end{bmatrix}$$

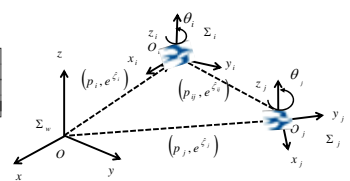
$$e^{\hat{\theta}_i} e^{\hat{\theta}_j} = \begin{bmatrix} \cos(\theta_j - \theta_i) & -\sin(\theta_j - \theta_i) & 0 \\ \sin(\theta_j - \theta_i) & \cos(\theta_j - \theta_i) & 0 \\ 0 & 0 & 1 \end{bmatrix}$$


Fig 9. 2次元に等価なシステム

$$a_i = \text{sk}(e^{-\hat{\theta}_i} e^{\hat{\theta}_j}) = \begin{bmatrix} 0 \\ 0 \\ \sin(\theta_j - \theta_i) \end{bmatrix}$$

2次元の運動学モデルに等価 (第6回FLゼミ)

Tokyo Institute of Technology Fujita Laboratory 12

**定理**

Tokyo Institute of Technology

定理

運動学モデル(1)を持つ  $n$  台のエージェントに対して、各エージェントに角速度入力(2)を加える

このとき、仮定(A), (B), (C)が満たされれば**姿勢協調**が達成される

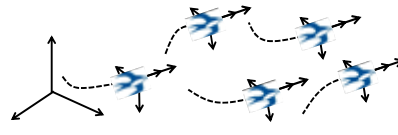


Fig 1 0 . 姿勢協調

Tokyo Institute of Technology Fujita Laboratory 13

**収束性の証明(1)**

Tokyo Institute of Technology

運動学モデル(1)は入力  $v_i = [v_i^T \ \omega_i^T]^T$  から出力  $y_i = [(e^{\xi_i} p_i)^T \ (\text{sk}(e^{\xi_i})^\vee)^T]^T$  まで受動性を有する

ポテンシャル関数  $V$  を以下のように定義する

$$V := \phi(e^{\xi_1}) + \phi(e^{\xi_2}) + \dots + \phi(e^{\xi_n}) = \sum_{i=1}^n \frac{1}{2} \text{tr}(I - e^{\xi_i})$$

$$\phi(e^{\xi_i}) = \frac{1}{2} \text{tr}(I - e^{\xi_i})$$

$$1. \phi(e^{\xi_i}) \geq 0 \text{ かつ } \phi(e^{\xi_i}) = 0 \Leftrightarrow e^{\xi_i} = I$$

$$2. \dot{\phi}(e^{\xi_i}) = (\text{sk}(e^{\xi_i})^\vee)^T \omega_i$$

$$\dot{V} = \sum_{i=1}^n (\text{sk}(e^{\xi_i})^\vee)^T \omega_i$$

$$= \sum_{i=1}^n \sum_{j \in N_i} (\text{sk}(e^{\xi_i})^\vee)^T \text{sk}(e^{-\xi_i} e^{\xi_j})^\vee$$

Tokyo Institute of Technology Fujita Laboratory 14

**収束性の証明(2)**

Tokyo Institute of Technology

$$\begin{aligned} & (\text{sk}(e^{\xi_i})^\vee)^T \text{sk}(e^{-\xi_i} e^{\xi_j})^\vee \\ &= -\frac{1}{2} \text{tr}((\text{sk}(e^{\xi_i})) \text{sk}(e^{-\xi_i} e^{\xi_j})) \quad a^T b = -\frac{1}{2} \text{tr}(\hat{a} \hat{b}) \\ &= -\frac{1}{8} \text{tr}(2e^{\xi_i} - 2e^{-2\xi_i} e^{\xi_j}) \\ &= -\phi(e^{\xi_i}) + \phi(e^{\xi_j}) - \frac{1}{4} \text{tr}((e^{\xi_i} + e^{\xi_j})(I - e^{-\xi_i} e^{\xi_j})) \\ &= -\frac{1}{2} \text{tr}((e^{\xi_i} + e^{\xi_j})(I - e^{-\xi_i} e^{\xi_j})) \leq -\lambda_{\min}(e^{\xi_i} + e^{-\xi_i}) \text{tr}(I - e^{-\xi_i} e^{\xi_j}) \end{aligned}$$

が成り立つことを用いて  $\lambda_{\min}(B) \text{tr}(A) \leq \text{tr}(AB)$

$$\begin{aligned} & (\text{sk}(e^{\xi_i})^\vee)^T \text{sk}(e^{-\xi_i} e^{\xi_j})^\vee \\ & \leq -\phi(e^{\xi_i}) + \phi(e^{\xi_j}) - \frac{1}{4} \lambda_{\min}(e^{\xi_i} + e^{-\xi_i}) 2\phi(e^{-\xi_i} e^{\xi_j}) \text{ とできる} \end{aligned}$$

Tokyo Institute of Technology Fujita Laboratory 15

**収束性の証明(3)**

Tokyo Institute of Technology

$$\dot{V} \leq \sum_{i=1}^n \sum_{j \in N_i} (-\phi(e^{\xi_i}) + \phi(e^{\xi_j}) - \frac{1}{2} \lambda_{\min}(e^{\xi_i} + e^{-\xi_i}) \phi(e^{-\xi_i} e^{\xi_j}))$$

グラフが平衡であるので

$$\sum_{i=1}^n \sum_{j \in N_i} \phi(e^{\xi_i}) = \sum_{i=1}^n \sum_{j \in N_i} \phi(e^{\xi_j})$$

が成り立つ

$$\dot{V} \leq -\sum_{i=1}^n \sum_{j \in N_i} \frac{1}{2} \lambda_{\min}(e^{\xi_i} + e^{-\xi_i}) \phi(e^{-\xi_i} e^{\xi_j}) \leq 0 \quad (\text{準負定})$$

$(e^{\xi_i} + e^{-\xi_i})$  は正定対称行列なので  $\lambda_{\min}(e^{\xi_i} + e^{-\xi_i}) > 0$

Tokyo Institute of Technology Fujita Laboratory 16

**収束性の証明(4)**

Tokyo Institute of Technology

$$\begin{aligned} \dot{V} &= 0 \\ \Rightarrow \lambda_{\min}(e^{\xi_i} + e^{\xi_j}) \phi(e^{-\xi_i} e^{\xi_j}) &= 0 \\ \Rightarrow \phi(e^{-\xi_i} e^{\xi_j}) &= 0 \quad (j, i) \in E \\ \Rightarrow e^{\xi_i} &= e^{\xi_j} \quad \forall i, j \in \{1, \dots, n\} \quad (\text{グラフは強連結}) \end{aligned}$$

ラ・サールの不変原理を適用すると

$$e^{\xi_1} = e^{\xi_2} = \dots = e^{\xi_n} \quad (t \rightarrow \infty)$$

(全てのエージェントの姿勢が一定値に収束)

エージェント集団は**姿勢協調**を達成する

Tokyo Institute of Technology Fujita Laboratory 17

**アウトライン**

Tokyo Institute of Technology

- はじめに
- 問題設定
- 収束性の解析
- シミュレーション
- まとめ

Tokyo Institute of Technology Fujita Laboratory 18

### 設定

Tokyo Institute of Technology

初期状態

$$p_1(0) = \begin{pmatrix} 1 \\ 1 \\ 0 \end{pmatrix} \quad p_2(0) = \begin{pmatrix} 0 \\ -1 \\ 2 \end{pmatrix} \quad p_3(0) = \begin{pmatrix} -2 \\ 0 \\ 1 \end{pmatrix} \quad p_4(0) = \begin{pmatrix} 2 \\ 1 \\ -1 \end{pmatrix}$$

$$\zeta_1(0) = \begin{pmatrix} -0.07 \\ -0.24 \\ 0.52 \end{pmatrix} \quad \zeta_2(0) = \begin{pmatrix} 0 \\ 1.05 \\ 0 \end{pmatrix} \quad \zeta_3(0) = \begin{pmatrix} -0.21 \\ 0.77 \\ -0.50 \end{pmatrix} \quad \zeta_4(0) = \begin{pmatrix} -0.14 \\ 0.51 \\ -0.51 \end{pmatrix}$$

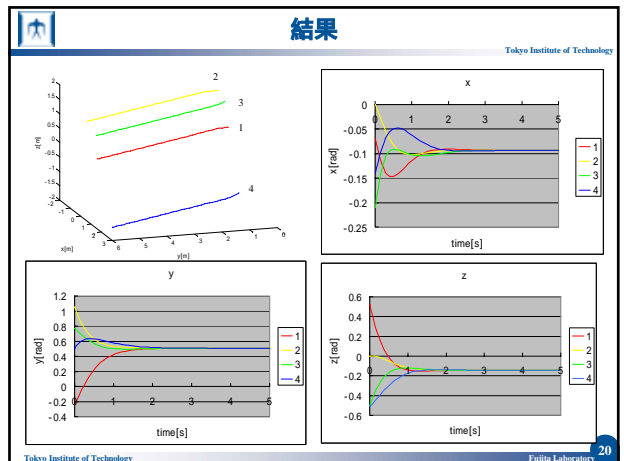
速度

$$v_i = \begin{pmatrix} 0 \\ 1 \\ 0 \end{pmatrix} \quad \forall i \in \{1, \dots, 4\}$$

グラフ

Fig1.1 . グラフ

Tokyo Institute of Technology Fujita Laboratory 19



### アウトライン

Tokyo Institute of Technology

- はじめに
- 問題設定
- 収束性の解析
- シミュレーション
- **まとめ**

Tokyo Institute of Technology Fujita Laboratory 21

### まとめ

Tokyo Institute of Technology

・各エージェントの3次元運動モデル

$$\begin{cases} \dot{p}_i = e^{\zeta_i} v_i & p_i \in \mathbf{R}^3 & \text{位置} \\ \dot{\zeta}_i = e^{\zeta_i} \omega_i \quad i \in \{1, \dots, n\} & e^{\zeta_i} \in SO(3) & \text{姿勢} \\ \zeta_i = \theta_i \xi_i & v_i \in \mathbf{R}^3 & \text{ボディ速度} \end{cases}$$

・制御入力

$$\omega_i \in \mathbf{R}^3 \quad \text{ボディ角速度}$$

$$\omega_i = \sum_{j \in N_i} \text{sk}(e^{-\zeta_i} e^{\zeta_j})^Y \quad \zeta_i \in \mathbf{R}^3 \quad \text{回転軸}$$

・仮定

(A) 回転行列  $e^{\zeta_i}, \forall i \in \{1, \dots, n\}$  は正定

(B)  $v_i = v_j, \forall i, j \in \{1, \dots, n\}$ , かつ  $|v_i| = 1, \forall i \in \{1, \dots, n\}$

(C) グラフは固定, 平衡, 強連結である

・定理 エージェント集団は**姿勢協調**を達成する

Tokyo Institute of Technology Fujita Laboratory 22